## Д Ц В Ч Ц Ч Ц Ъ Р Г Р Ц Ч Ц Ъ Ц Г И Ц Ч Р Г АРМЯНСКИЯ ХИМИЧЕСКИЯ ЖУРНАЛ

XXI. № 8. 1968

#### химическая технология

УДК 542,943+546,224

# МЕХАНИЗМ ОКИСЛЕНИЯ СУЛЬФИТОВ В СУЛЬФАТЫ КИСЛОРОДОМ ВОЗДУХА В ПРИСУТСТВИИ ОКИСЛОВ АЗОТА

### г. о. григорян

Изучен механизм окисления нона SO<sub>3</sub> в SO<sub>4</sub> на примере инициированного окислами азота окисления сульфитов натрия и аммония. Показано, что процесс описывается цепной радикальной схемой, включающей реакции нонов и ион-радикалов.

Выведенное на основании предложенной схемы выражение для скорости процесса хорошо описывает экспериментальные данные.

Получение серной кислоты из бедных по содержанию SO<sub>2</sub> выхлопных газов не представляет практического интереса.

Между тем, годовая потеря сернистого газа с выхлопными газами составляет десятки миллионов тони, выброс огромного количества SO<sub>2</sub> в атмосферу отравляет окружающее заводы пространство.

Разработан ряд способов утилизации этих газов абсорбцией органическими растворителями или щелочами и карбонатами с получением высокопроцентного сернистогогаза и соответствующих солей.

В работах [1—3] предложен новый способ утилизации выхлопных сернистых газов с получением сульфитов кальция, магния, калия и др., а также сульфата и бисульфата аммония, с применением последнего для разложения апатитового концентрата, с получением многокомпонентного азотнофосфатного-калийного удобрения [3].

Показано [1—3], что скорость окисления  $SO_3^-$  в  $SO_4^-$  кислородом воздуха в присутствии окислов азота — как газового инициатора — зависит от концентрации образующихся сульфитов, окислов азота и кислорода в газовой фазе.

На основании полученных данных было сделано предположение, что процесс. по-видимому, протекает по цепному механизму, с образованием ион-радикала  $SO_8^-$ . Предполагаемый механизм аналогичен механизму окисления сульфитов в сульфат с инициированием металлами переменной валентности или механизму фотохимического окислениы, предложенному Габером и Бекстером [4, 5].

В случае применения окислов азота, как газового инициатора, процесс окасления можно представить следующим образом [1]:

0) 
$$NO_3 + SO_3^- \longrightarrow NO_2^- + SO_3^-$$

1) 
$$SO_3^- + O_2 \longrightarrow SO_5^-$$

2) 
$$SO_5^- + SO_3^- \longrightarrow SO_5^- + SO_3^-$$

3) 
$$SO_5^- + SO_8^- \longrightarrow 2SO_7^-$$
,

4) 
$$SO_8^- + SO_3^- \longrightarrow S_2O_4$$
.

В связи с этим был изучен процесс окисления  $SO_3^-$  в  $SO_4^-$  при поглощении сернистого газа гидроокисями кальция, бария, магния, натрия и аммония в случаях, когда: а) Поглотитель и образующиеся сульфат-сульфиты труднорастворимы [Ca(OH)<sub>2</sub>, CaSO<sub>3</sub> и CaSO<sub>4</sub>]; б) Поглотитель растворим, а образующиеся сульфат-сульфиты нерастворимы [Ba(OH)<sub>2</sub>, BaSO<sub>2</sub> и BaSO<sub>4</sub>]; в) Поглотитель и образующийся сульфит хорошо растворимы, а сульфат менее растворим (КОН,  $K_2SO_3$  и  $K_2SO_4$ ); г) Поглотитель и образующийся сульфит труднорастворимы, а сульфат растворим [Mg(OH)<sub>2</sub>, MgSO<sub>3</sub> и MgSO<sub>4</sub>) и д) Поглотитель и образующиеся сульфит-сульфаты растворимы  $INH_4OH$ , NaOH, (NH<sub>4</sub>)<sub>2</sub>SO<sub>4</sub>, (NH<sub>4</sub>)<sub>2</sub>SO<sub>4</sub>, Na<sub>2</sub>SO<sub>4</sub>].

В результате было показано, что растворимость образующихся сульфитов и сульфатов имеет решающее значение при превращении  $SO_3^-$  в  $SO_4^-$ . Так, процесс окисления  $CaSO_3$  в  $CaSO_4$  лимитируется количеством  $SO_3^-$  в растворе. При увеличении концентрации окислов азота от 0 до  $0.3^0/_0$  (объемные) степень превращения  $SO_3^-$  в  $SO_4^-$  растет от 0.35 до  $53^0/_0$ , т. е. более чем в 150 раз. Дальнейшее увеличение концентрации окислов азота до  $2.38^0/_0$  не приводит к увеличению степени превращения  $SO_3^-$  в  $SO_4^-$  [1]. Более характерна эта зависимость при окислении сульфита магния. В этом случае образующийся в процессе сульфат магния растворим и не обволакивает молекул сульфитов, что создает условия для перехода всех новых нонов в раствор. Растворимость сульфита магния выше, чем сульфита кальция. При  $20^\circ$  содержание  $SO_3^-$ -нонов в растворе в случае сульфита магния больше, чем при сульфите кальция, примерно в 225 раз; поэтому при содержании окислов азота в газовой фазе  $0.005^0/_0$  степень окисления достигает  $97,5^0/_0$  и получается концентрированный раствор  $MgSO_4$  ( $20-23^0/_0$  в пересчете на безводный) [1].

Процесс поглощения сернистого газа и превращения образующегося сульфит-иона в сульфат не лимитируется растворимостью исходного поглотителя (щелочи), что хорошо видно при сравнении данных, полученных при изучении процесса поглощения  $SO_2$  гидроокисью кальция и бария и окисления образующегося  $SO_3^{-1}$ . Растворимость  $Ba(OH)_2$  в условиях опыта (20°) в 30 раз больше растворимости  $Ca(OH)_3$ ; степень-же окисления ( $O_0$ ) при прочих равных условиях, в случае  $CaSO_3$ —54,8, а  $CaSO_3$ —32,4 [1]. Когда концентрация  $CoS_3$  в растворе велика, она практически не лимитирует процесса окисления  $CoS_3$  в  $CoS_3$ . На процесс влияет положительно также увеличение концентрации окислов азота и кислорода, что проверено при окислении  $CoS_3$  [1].

Таким образом, механизм окисления  $SO_3^-$  в  $SO_4^-$  во всех указанных случаях может быть качественно объяснен приведенной схемой.

Настоящая работа поставлена с целью количественного изучения процесса окисления иона  $SO_3^-$  в  $SO_4^-$  на примере окисления сульфитов натрия и аммония. Как следует из схемы, скорость процесса окисления  $SO_3^-$  в  $SO_4^-$  определяется выражением:

$$W = \frac{d(SO_{5})}{dt} = K_{3}(SO_{5}^{-})(SO_{3}^{-}). \tag{1}$$

Для замены концентрации (SO<sub>6</sub> ) в уравнении (1) концентрацией исходных веществ составляем кинетические дифференциальные уравнения для концентрации промежуточных веществ:

$$\frac{d(SO_5^{-})}{dt} = K_1(\cdot SO_5^{-})(SO_3^{-}) - K_3(SO_5^{-})(SO_3^{-}),$$

$$\frac{d(SO_5^{-})}{dt} = K_1(\cdot SO_3^{-})(O_2) - K_2(\cdot SO_5^{-})(SO_3^{-}),$$

$$\frac{d (\cdot SO_3^-)}{dt} = K_0 (NO_2) (SO_3^-) - K_1 (\cdot SO_3^-) (O_2) - K_4 (\cdot SO_3^-)^2,$$

$$\frac{d (SO_3^-)}{dt} = -K_2 (\cdot SO_5^-) (SO_3^-) - K_3 (SO_5^-) (SO_3^-).$$

Из условия стационарности следует, что

$$K_0(NO_2)(SO_3^-) = K_4(SO_3^-)^2$$

После решения этих уравнений в условиях стационарности и подстановки текущей концентрации (SO<sub>5</sub>) в уравнение (1) находим следующее выражение для скорости процесса:

$$W = K_1 \sqrt{\frac{K_0 (NO_3) (SO_3)}{K_4}} \cdot (O_2) \frac{MOJIB}{A \cdot MHH}.$$
 (2)

или

$$W = K' V \overline{(NO_g) (SO_3^{--} \cdot (O_g) \frac{MOJb}{A \cdot MUH.}}$$
 (3)

Из уравнения (3) следует, что скорость окисления  $SO_3^-$  в  $SO_4^-$  пропорциональна концентрации кислорода, корню квадратному из концентрации окислов азота и ионов сульфита.

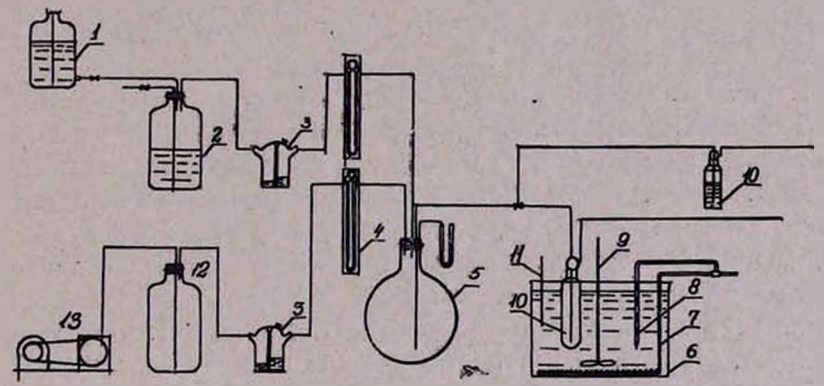


Рис. 1. Схема опытной установки. 1—сосуд Мариотта; 2—сосуд с окисью азота — увлажнитель воздуха; 4 — реометры; 5 — окислительный объем; 6—термостат; 7 — электронагреватель; 8 — контактный термометр; 12 — рессивер; 13 — воздушный насос.

С целью замедления процесса окисления реакция проводилась в щелочной среде. Для получения сульфита натрия был использован перекристаллизованный Na<sub>2</sub>SO<sub>2</sub> марки "х.ч". Процесс окисления изучался на экспериментальной установке (рисунок 1).

В начале опыта включалась воздуходувка (13); воздух пропускался через рессивер (12) в склянку Тищенко—увлажнитель (3), затем он с определенной скоростью, измеряемой реометром (4), поступал в смеситель-окислитель. По достижении необходимого расхода воздуха в сосуде (2) создавалось давление; затем через центиль в систему направлялась

окись азота через окислительный объем (смеситель) (5). В начале опыта газовая смесь шла в обход реактора. После установления устойчивого режима поворотом трехходового крана газовая смесь направлялась в систему.

Реактором служили цилиндры емкостью 200 мл, диаметром 3,7 см. Расход воздуха составлял 1,8нл/мин. Реактор был помещен в термостат, температура в котором регулировалась контактным термометром.

Влияние концентрации окислов азота и продолжительности опыта на скорость процесса. Опыты проводились в следующих условиях; расход газовой смеси—1,8 нл/мин., количество сульфита—100 мл, концентрация—141 г/л, температура опыта 20°, рН—9,6; концентрация окислов

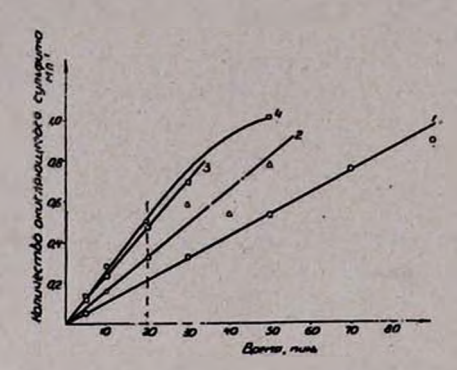


Рис. 2. Зависимость количества окислившегося сульфита натрия от продолжительности опыта.

азота изменялась от 0 до  $1,125^{\circ}/_{\circ}$  (объемных), продолжительность опытов -2-90 минут.

Результаты опытов представлены на рисунке 2. Как следует из полученных данных, при низких концентрациях окислов азота (°/0) — 0,225, 0,45 и 0,9 (кр. 1, 2, 3) количество окисляющегося сульфита линейно растет со временем. Однако, с увеличением концентрации окислов азота прямолинейная зависимость наблюдается при времени контакта лишь до 20 минут.

На основании полученных результатов в дальнейшем опыты проводились при времени контакта 10—20 минут. Из данных, представленных на рисунке 2, следует, что за двадцать минут количество окисляющегося сульфита натрия (моль/л) при концентрации окислов азота (%) 0,225, 0,45, 0,90 и 1,125 составляет соответственно 0,210, 0,325, 0,466 и 0,510. С использованием этих данных построена зависимость квадрата скорости от концентрации окислов азота. Как следовало ожидать, согласно уравнению (3), эта зависимость прямолинейная.

Зависимость скорости реакции от концентрации окислов азота проверена также на процессе окисления сульфита аммония. Исследования проводились при следующих условиях: количество сульфита аммония 50 мл, концентрация сульфита 71, 146, 262 и 456  $\epsilon/\Lambda$ , расход воздуха 1,67  $\epsilon/\Lambda$ , инфин., температура опыта 20°, продолжительность опыта—20 минут.

В этом случае наблюдается линейная зависимость между квадратом скорости и концентрацией окислов азота.

Влияние концентрации кислорода на скорость процесса. Концентрация кислорода в газовой смеси изменялась практически от 13 до 98%. Опыты проводились при температуре 20°, скорости газового потока 1,8 нл/мин., количестве поглотителя 100 мл, концентрации 141 г/л, про-

должительности опыта 10 минут, концентрации окислов азота 0,45, pH=9.6.

Зависимость скорости процесса превращения сульфита натрия от концентрации кислорода имеет прямолинейный характер, т. е. удовлетворяет уравнению (3) (до концентрации 70—80% и, соответственно, степени превращения 60—70%). Снижение скорости реакции при концентрации кислорода 70—80 объемных процентов может быть объяснево диффузионными явлениями на поверхности контакта фаз.

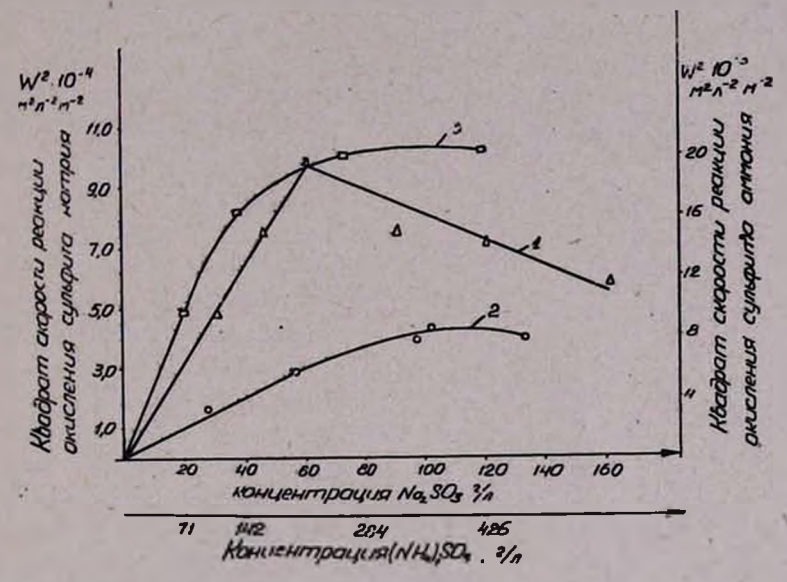


Рис. 3. Зависимость квадрата скорости реакции окисления сульфита: натрия (кр. 1 и 2) и аммония (кр. 3) от их концентрации.

Влияние концентрации сульфитов. Концентрация сульфита аммония изменялась от 71 до 426 г/л, а сульфита натрия-от 30 до 160 г/л. При окислении сульфита аммония и натрия среда была щелочной, т. е. в реактор подавалась также щелочь. Так, при окислении сульфита натрия щелочность составляла 12 г/л (рН-9.6). Результаты экспериментов представлены на рисунке 3. Как следует из графика, при окислении сульфита натрия, не содержащего гидроокиси натрия, квадрат скорости реакции с увеличением концентрации растет прямолинейно до концентрации сульфита 60 г/л; дальнейшее увеличение концентрации приводит к снижению. скорости реакции (кр. 2). Это явление не наблюдается при окислении сульфитов, содержащих щелочь. Наличие щелочи в реакционной зоне приводит к тому, что после определенной концентрации сульфитов не наблюдается линейная зависимость, но при этом скорость не обратно пропорциональна концентрации сульфита (кр. 1 и 3) как в случае без щелочи (кр. 2). Объяснением этого может быть следующее. Для сильных электролитов удельная электропроводность тем выше, чем больше концентрация ионов в объеме одного см3. Однако, когда концентрация раствора становится достаточно высокой, возрастает влияние взаимного

притяжения ионов. Оно может стать более сильным, чем влияние увеличения общей концентрации электролита в растворе. Взаимодействие этих факторов приводит к максимальной удельной электропроводности. Дальнейшее повышение концентрации электролита вызывает уменьшение

удельной электропроводности раствора.

Влияние температуры на скорость процесса окисления сульфита натрия изучалось при температурах 1, 10, 20 и 35°. Условия опыта: скорость воздуха—1,8 нл/мин., количество поглотителя—100 мл. концентрация окислов азота—0,45%. Результаты экспериментов представлены на рисунке 4. Как видно из графика кинетических кривых, увеличение температуры до 20° приводит к возрастанию скорости процесса. Дальнейшее увеличение приводит к снижению скорости окисления. Следует отметить, что отрицательный эффект имеет место также при окислении сульфитов

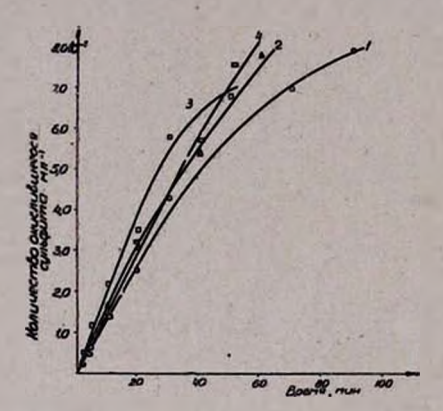


Рис. 4. Зависимость количества окисленного сульфита натрия от температуры и продолжительности опыта.

кальция и магния кислородом воздуха в присутствии окислов азота, как газового инициатора [1].

Увеличение температуры опыта до 20° приводит к увеличению скорости реакции окисления SO<sub>3</sub> в SO<sub>4</sub>, а выше 20° — к ее снижению (см. рис. 4). Определено эффективное значение энергии активации для случаев, когда повышение температуры влияет на процесс положительно; оно оказалось равным 15,3 ккал/моль град. Величина эффективной энергии активации для температуры выше 20° оказалась равной 23,8 ккал/моль град.

Таким образом, анализ экспериментального материала показывает, что для окисления сульфитов кислородом воздуха в присутствии окислов азота, как газового инициатора, может быть предложена вышеуказанная схема.

Ереванский научно-исследовательский институт химии

Поступило 18 I 1967

ՕԴԻ ԹԹՎԱԾՆՈՎ ԱԶՈՏԻ ՕՔՍԻԴՆԵՐԻ ԱՌԿԱՅՈՒԹՅԱՄԲ ՍՈՒԼՖԻՏՆԵՐԸ ՍՈՒԼՖԱՏՆԵՐԻ ՕՔՍԻԴԱՑՆԵԼՈՒ ՄԵԽԱՆԻՉՄԸ

9. 2. 9PP9nP8UL

L d h n h n ı d

Ազոտի օքսիդների, որպես հարուցիչների ներկայությամբ նատրիումի և ամոնիումի սուլֆիտների օրինակի վրա ուսումնասիրված է օդի ԹԹվածնով SO<sub>3</sub> -իոնների օքսիդացումը SO<sub>4</sub> -ի։

Ցույց է տրված, որ օքսիդացման պրոցնսը շղթայական իոնառադիկալային ընուլը ունի։

Ուսումնասիրված պրոցեսի հիման վրա դուրս է բերված ռեակցիայի արադության անալիտիկ արտահայտությունը, որով բացատրված են ստացված փորձնական տվյալները։

### ЛИТЕРАТУРА

- 1. М. Г. Манвелян, Г. О. Григорян, С. А. Газарян, Изв. АН Арм. ССР, ХН, 12, 165, 249, 313 (1959); 13, 101, 397 (1960), 14, 27 (1961).
- 2. М. Г. Манселян, Г. О. Григорян, С. А. Газарян, С. С. Караханян, ЖПХ 34, 934 (1961).
- 3, Г. О. Григорян, Р. М. Киракосян, Арм. хим. ж., 20, 164 (1967).
- 4. J. J. Backstrom, Z. Phys. Chem., 25, 122 (1934).
- Н. Н. Семенов, О некоторых проблемах химической кинетики и реакционной способности. Изд-во АН СССР, Москва, 1958.